



Article

Enquête sur la technique de réparation des fissures pour retarder la fracture Initiation des éléments en acier soumis à une fatigue à faible cycle

Sampath Abeygunasekara 1,*, Jeeva Chandanee Pushpakumari Gamage 1 et Sabrina Fawzia 2

- Département de génie civil, Faculté d'ingénierie, Université de Moratuwa, Katubedda 10400, Sri Lanka : kgamage@uom.ac.lk École de génie civil
- et environnemental, Université de technologie du Queensland, Brisbane 4000, Australie ; sabrina.fawzia@qut.edu.au
- * Correspondance : abeygunasekarasampath@gmail.com

Résumé : Les concentrations de contraintes sont devenues un phénomène courant dans les éléments en acier lors de l'arrêt d'une fracture en mettant en œuvre la technique CSH (Crack Stop Hole). L'intégration du CSH avec un polymère renforcé de fibres de carbone (CFRP) améliore la durée de vie en fatigue en retardant les fractures tout en obtenant une récupération de rigidité grâce aux caractéristiques mécaniques supérieures du matériau CFRP. Par conséquent, le comportement à faible fatigue cyclique (LCF) de 90 éprouvettes CSH renforcées et non renforcées a été examiné dans ce contexte. Ces éprouvettes ont été soumises à une plage de 0 à 10 000 cycles de charge de fatigue à une fréquence de 5 Hz. A la fin de l'exposition à la fatigue, la résistance moyenne à la traction a été mesurée dans chaque cas. L'application d'un patch CFRP sur le CSH a efficacement récupéré les pertes de résistance tout en améliorant la résistance de l'ordre de 32 % à 45 % par rapport aux échantillons non renforce Le modèle numérique développé basé sur la technique J-intégrale cyclique est en accord avec les résultats des tests. Cette étude a introduit des lignes directrices de conception liées à la géométrie pour cette nouvelle technique hybride CSH.

Mots-clés : éléments en acier ; trou d'arrêt de fissure (CSH) ; Composite hybride CHS/CFRP ; fatigue à faible cycle ; résistance moyenne à la traction



Citation : Abeygunasekara, S. ; Gamage, JCP; Fawzia, S.

Enquête sur la technique de réparation des fissures pour retarder

l'initiation de la fracture des éléments en acier soumis à une fatigue à faible cycle. Bâtiments 2023, 13, 2958. https://doi.org/10.3390/buildings13122958

Rédacteurs académiques : Baiqiao Chen, Youde Wang, Liang Zong et Zongxing Zhang

Reçu : 17 septembre 2023 Révisé : 25 octobre 2023 Accepté : 2 novembre 2023 Publié : 28 novembre 2023



Copyright : © 2023 par les auteurs. Licencié MDPI, Bâle, Suisse.

Cet article est un article en libre accès distribué selon les termes et conditions des Creative Commons

Licence d'attribution (CC BY) (https://creativecommons.org/licenses/by/4.0/).

1. Introduction

Les structures vieillissantes sont vulnérables à la fatigue due à la dégradation des matériaux et aux lourdes charges résultant de l'augmentation de la demande de service actuelle. La fatigue provoque généralement des fractures au niveau microstructural, qui ne peuvent pas être observées visuellement [1]. Selon les études précédentes, 90 % des défaillances structurelles sont dues à des ruptures de fatigue [2]. Cependant, la fatigue n'est pas un problème d'ingénierie puisqu'elle est liée au comportement de tout matériau dû aux fluctuations de contraintes. L'effet cyclique provoque une modification des propriétés mécaniques d'un matériau, ce qui entraîne une rupture qui se produit en dessous de la limite d'élasticité du matériau ductile.

Il est intéressant de noter qu'une défaillance rapide et soudaine se produit sans aucun avertissement préalable et dans un délai très court, entraînant des pertes de vies et de biens en raison de la fatigue. Par conséquent, les réparations liées à la fatigue des structures en acier sont très importantes pour continuer leurs services dans les limites de sécurité. Traditionnellement, les plaques d'acier sont reliées aux éléments fissurés à l'aide de soudage ou d'écrous et de boulons comme technique de réparation. Cependant, ces méthodes présentent des limites, notamment un équipement lourd, une main-d'œuvre qualifiée, une augmentation du poids propre, une modification de la microstructure d'un matériau due à la chaleur, une discontinuité de la section transversale, une utilisation difficile en cas d'urgence et des temps d'arrêt élevés.

Fisher et al., en 1980, ont proposé une technique de placement de trous pour le contrôle des fissures [3]. La technique CSH présente un grand potentiel pour surmonter la majorité des inconvénients mentionnés ci-dessus. Cette technique pourrait être considérée comme une méthode rapide, simple et rentable. Le procédé de la technique CSH consiste à percer un trou à l'extrémité du fond de fissure pour transformer la fissure en entaille. Le résultat est une réduction des contraintes sur les éléments structurels fissurés.

Cette technique est utilisée avec succès dans l'industrie aérospatiale depuis 1950 [4] et, à l'heure actuelle, les applications de réparation de ponts en acier ont également introduit cette méthode. Cependant,

le CSH commence à se refisser en raison des charges de service continues ainsi que de la diminution de la résistance moyenne de la section transversale due à l'enlèvement de matière du CSH. Il devrait donc exister une solution pour améliorer les performances de cette technique. La taille du CSH est un débat majeur en ce qui concerne la technique CSH et nécessite une ligne directrice de conception appropriée pour décider de la taille du CSH.

2 sur 16

Une étude réalisée par Fish et al. ont recommandé une plage de diamètre CSH comprise entre 50 mm et 100 mm pour des performances efficaces [5], tandis qu'Ishikawa et al. recommandé une plage de diamètre comprise entre 6 mm et 25 mm [6]. La taille minimale du trou doit être inférieure à 25 mm pour les ponts routiers typiques [3]. Dextor et Oce ont confirmé qu'une taille minimale du CSH est de 25 mm de diamètre [7]. Une formule a été développée par Rolfe et Barsom en 1977 pour estimer la taille du CSH [8]. Fisher et coll. introduit une corélation pour estimer la taille du CSH [3]. Cela indique clairement que la taille du CSH est un débat majeur concernant cette technique et que certaines lignes directrices de conception appropriées sont nécessaires pour décider de la taille du CSH en fatigue. Brown et coll. ont suggéré que le CSH placé à l'aide de mèches émoussées entraînerait une fatique similaire à celle des trous de perforation [9]. Les matériaux CFRP ont été appliqués avec succès pour restaurer des structures en acier dégradées depuis 1980 [10] en raison de leur résistance à la corrosion, de leur légèreté et de leur remarquable durabilité à la fatique [11]. Les enquêtes menées par Bocciarelli et al. ont prouvé que le CFRP présente de meilleures performances en fatigue que les méthodes à plaques de recouvrement soudées [10]. Yuana et coll. et Liu et al. ont également confirmé les performances en fatigue d'une technique de renforcement basée sur le CFRP à travers leurs études de recherche [12,13]. Tang et Kalavagunta et al. ont affirmé la capacité du CFRP à améliorer la durée de vie et à augmenter la capacité de fatigue des éléments structurels [1-Les études de recherche réalisées par Kalavagunta et al. ont également étudié la capacité de la section en acier à gagner en résistance avec le CFRP [15]. Selon Cadei et al., les feuilles et bandes CFRP pourraient être utilisées efficacement pour renouveler la capacité perdue d'un matériau [16]. Gîte et al. ont montré que le CFRP est capable de réduire d'un tiers le gain de poids et de renforcement par cinq par rapport à l'acier [17]. Par conséquent, le renforcement du CSH à l'aide d'un matériau CFRP présente un grand potentiel pour arrêter la fissure et peut améliorer les performances en fatigue en raison des retards dans la fissuration par nature. Cette enquête s'est concentrée sur l'évaluation du comportement en fatigue d'un système hybride CSH/CFRP tout en introduisant une formule de conception pour la technique CSH.

2. Méthodologie

Une revue de la littérature a été réalisée pour résumer les investigations existantes liées aux trous d'arrêt de fissure ainsi que les techniques renforcées par le CFRP et pour identifier les lacunes dans la recherche. Un appareil de chargement en fatigue a été conçu et fabriqué sur la base de commandes électrohydrauliques avec une capacité de charge de 10 kN. Un programme d'essais expérimentaux a été réalisé avec quatre séries d'essais pour étudier les mesures liées à la fatigue du CSH. Le FEM a été développé à l'aide d'un logiciel d'analyse par éléments finis (ABAQUS 6.14), avec une configuration de test similaire avec des tests en laboratoire. Le modèle a été utilisé pour comparer les résultats des tests de laboratoire à des fins de validation. Les résultats du modèle ont été utilisés pour mener une étude paramétrique afin d'estimer les effets des paramètres inconnus sur les performances du CSH. Les résultats des tests et les résultats FEM ont été présentés avec des directives de conception et des recommandations pour la technique CSH.

3. Configuration et matériel de test

Au total, quatre-vingt-dix spécimens classés en sept séries ont été testés. les détails sont répertoriés dans le tableau 1.

Les échantillons d'essai ont été conçus conformément à la norme ASTM D 790 [18] avec les dimensions sisions de 40 mm (largeur) × 5 mm (épaisseur) × 280 mm (portée) (Figure 1).

3 sur 16

Type Tableau 1. Résumé du programme d'échantillons

Type Tableau 1. Résumé du programme d'essais.

CSH

représe de type S1 avec diamètre variable Non conditionné CSH représe S1 avec diamètre variable Non conditionné CSH représe S1 avec de 24

renforcé de type S1 avec diamètre variable Non conditionné CSH renforcé S1 avec		24
diamètre variable CSH renforce S2 non conditionné avec diamètre variable 10 000 Série cycles Type de conditionne paget 10 000 cycles CSH renforce S2 avec diamètre variable	Non de 36 Échantillons	 36
CSH S3 non renforcé avec changement de position 10 000 cycles CSH S3 non renforcé avec changement de position 10 000 cycles conditionné S4 CSH renforcé avec changement de position 10 000 cycles 10 000 cycles CSH S4 renforcé avec changement de position 10 000 cycles 10 000 cycles CSH S4 renforcé avec changement de position 10 000 cycles 10 000 cycles CSH	24 15 36 15	15 15

changement de position 10 000 ၎၄cles Les échantillons d'essai ont été conçus conformement à la norme ASTM D 790 [18] avec les dimensions S4 renforcées CSH avec changement demastience) (୧୦୧୯ ଜନ୍ମ ଓଡ଼ିଆ ଓଡ

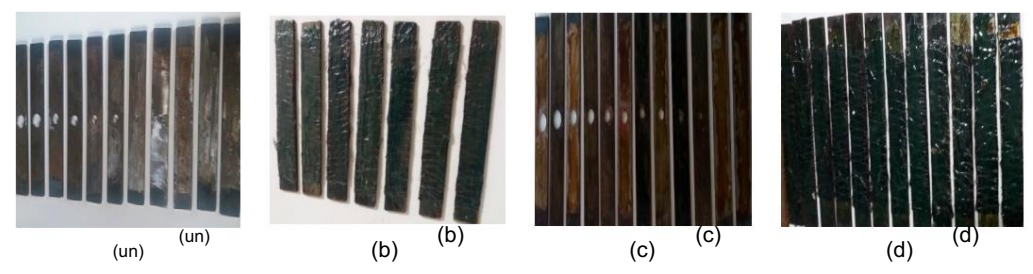


Figure 1. Échantillons préparés de CSH renforcé et non renforcé : (a) non conditionné, (non conditionné, (c) Figure 1. Échantillons préparés de CSH renforcé et non renforcé : (a) non conditionné, (b) conditionné et (d) conditionné. (b) conditionné et (d) conditionné. (b) non conditionné, (c) conditionné et (d) conditionné. (b) non conditionné, (c) conditionné et (d) conditionné. (b) non conditionné, (c)

Les surfaces à renforcer ont été préparées par sablage et la couche humide. Les surfaces à renforcer le surfaces à renforcer processus de la couche de stratification humide a été suivie le methode de stratification humide a été suivie le methode de stratification humide a été suivie le methode de la companie de la processus de la conferie de la companie de la comp





Figure 2. Figure 2. Confestination (deobliophation de teactionur a) a) chafatique et (b) charge de traction. charge de fatique et (Figure 2. Configuration d'essai pour (a) charge de fatique et (b) charge de traction.

Le module d'élasticité et la résistance à la traction de l'acier et du matériau CFRP ont été déterminés 4 sur 16 expérimentalement à l'aide d'un test sur coupon. La résistance à la traction et le module élastique de l'acier ont été

mesurés selon les normes ASTM D 3039 [19]. En fait, une résistance à la traction de 583 MPa et un module élastique moyen de 200 GPa ont été rapportés. Traction Le module d'élasticité et la résistance à la traction de l'acier et du matériau la résistance en interpretaine de l'acier et du matériau CFRP ont été rapportés à 175 MPa et déterminés 1576 MPa et de l'acier mesurés 1576 MPa et de l'acier et du matériau la résistance à la traction de l'acier et du matériau la résistance à la résist

selon les normes ASTM D 3039 [19]. En fait, une traction propriétés matérielles, conformément à la norme ASTM D 3039/3039 M, qui sont répertoriées dans le tableau 2. Une résistance de 583 MPa et un module élastique moyen de 200 GPa ont été rapportés. Traction

La résistance et un module élastique moyen du matériau CFRP ont été rapportés à 175 MPa Tableau 2. Propriétes des materiaux mesurees et fournies par le fabricant [11,20]. et 1575 MPa, respectivement. Les fabricants ont fourni des données comparées aux mesures

propriétés des matériaux, conformément à la norme ASTM D 3039/3039 M, répertoriées dans le tableau 2. Propriété du matériau Acier Adhésif époxy

Tableau 2. Propriétés des matériaux masurées et fournies par le 188 ricant [11,20] Résistance à la traction moyenne (MPa) 25

1575

Propriété du matériau -Module élastique moyen (GPa)	Acier 200	Adhésif époxy 0,579	CFRP ₁₇₅
Résistance à la traction moyenne (MPa)	583	25	1575
Gnefficient de Poisson mover (GPa)	200 ³	0,5793	175 ^{0,3}
Coefficient de Poisson	0,3	0,3	0,3

moyen 4. Résultats

4. Résultats 4.1. Effets du diamètre CSH 4.1.

Effets du diamètre CSH échantillons ont été testés. Vingt-quatre d'entre eux n'ont pas été exposés à la fatigue. Au total, (non contitue problèment de la fatigue de la fatigue, l'éprouvette de la fatigue, l'éprouvette de la fatigue, l'éprouvette de la fatigue de fatigue de

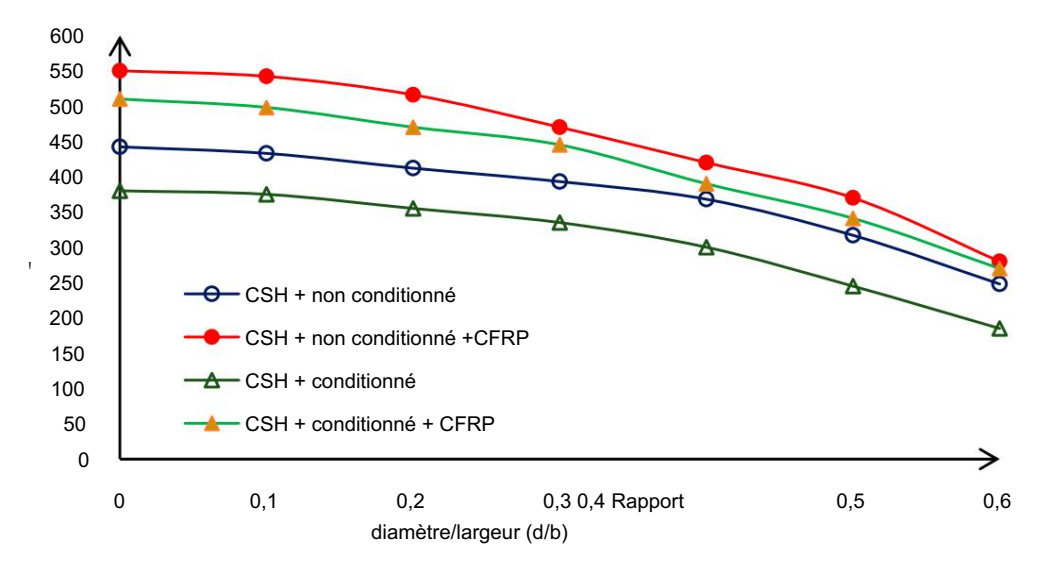


Figure 3 Pertesede siésiste no estu estai du éatigne et grains de césistemen du CFRP.

En moyenne, une perte de résistance de 14 % a été constatée dans l'éprouvette en raison des effets de fatigue. En moyenne, une perte de résistance de 14 % a été constatée dans l'éprouvette en raison des effets de fatigue, même sans CSH. Ceci est principalement dû à la dégradation des matériaux provoquée par les actions répétitives sans le CSH. Ceci est principalement dû à la dégradation des matériaux provoquée par les actions répétitives de chargement et de déchargement (fatigue). En moyenne, une perte de résistance de 13 à 25 % a été constatée actions de chargement et de déchargement (fatigue). En moyenne une perte de résistance de 13 à 25 % a été constatée actions de chargement et de déchargement (fatigue). En moyenne une perte de résistance de 13 à 25 % a été constatée lorsque le rapport d/b variait de 0,1 à 0,6 à la fin de rexposition en fatigue des éprouvettes. Les général, le CSH provoque une le rapport d/b variait de 0,1 à 0,6 à la fin de rexposition en fatigue dans les éprouvettes avec le CSH. En général, le avec le CSH benéral les spanier de la suppression des l'enlèvement de matière. En revanche, les ratégrie us la l'enlèvement de matière. En revanche, les ratégrie us la l'auton par le les spanier de l'envanchement les satements platique la la l'enlèvement de la satement les des designements platique la des des la destion de la conscillé du tration de plans de glissement des métaux mouvements vers l'arrière des dislocations et déformation plastique le long des plans de glissement des métaux

Bâtiments 2023, 13, x POUR EXAMEN PAR LES PAIRS

5 sur 16

Bâtiments 2023, 13, 2958 5 sur 16

par effets d'écoulement plastique, imperfections dans le réseau cristallin du matériau, effets d'écoulement vers-

l'Envière elepadi plastitions in préfectiation de proteste des palongistes i plans de églisse ment den entre de la comment de la

Enriète d'Odiniosations en déforce donc plastiques for inagore plastique eglis note en la merida un inétal de les 954, regions de la maria del maria del maria de la maria de

in atte entitlement à capacité du CFRP à récupérer la perie de résistance avec une tatique améliore.

Indique clairement la capacité du CFRP à récupérer la perie de résistance avec une tatique améliore.

De formance à 1,4 s. . L'ans le système suggére dans cette étude en moyenne à 2 de 1,5 s. L'ans le système suggére dans cette étude en moyenne à 2 de 1,5 s. L'ans le système suggére dans cette étude en moyenne à 2 de 1,5 s. L'ans le système suggére dans cette étude en moyenne à 2 de 1,5 s. L'ans le système suggére dans cette étude en moyenne à 2 de 1,5 s. L'ans le système au dépère de 1,5 s. L'ans le système en moyenne de 1,5 s. L'ans le système suggére dans cette étude en moyenne à 2 de 1,5 s. L'ans le système en moyenne de 1,5 s. L'ans le système en moyenne à 2 de 1,5 s. L'ans le système en moyenne de 1,5 s. L'ans le

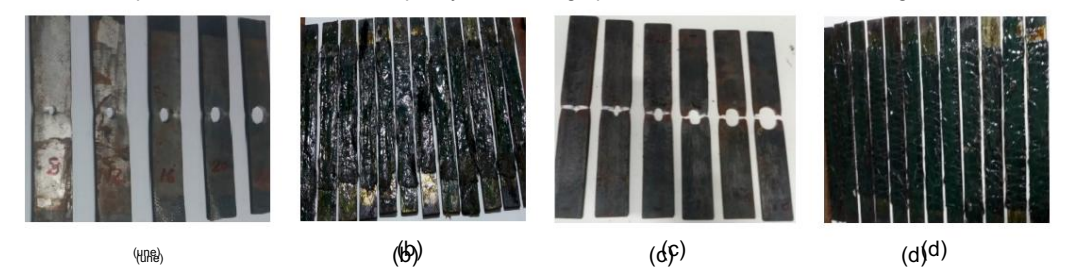
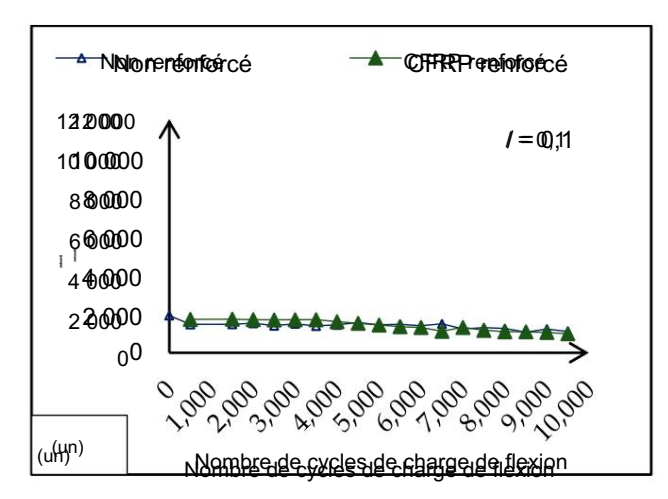


Figure 4. Wrote de défailleme du CSH; (e) non fatique et mon renforcé, (b) non fatique et ranforcé (ch) fatique et montentoré (ch) non fatique et monte (c) renforcé (c)



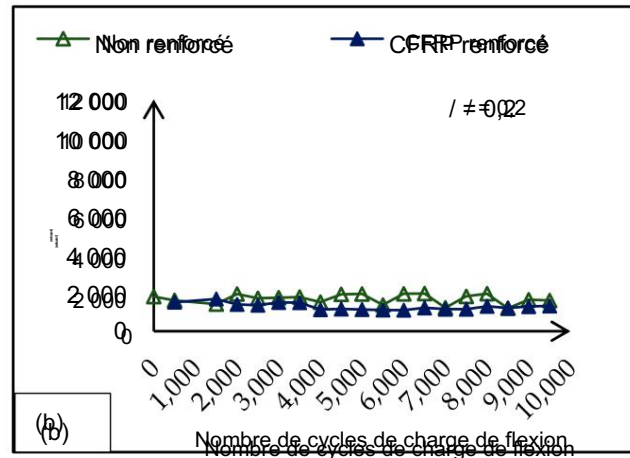


Figure 5. Suite.

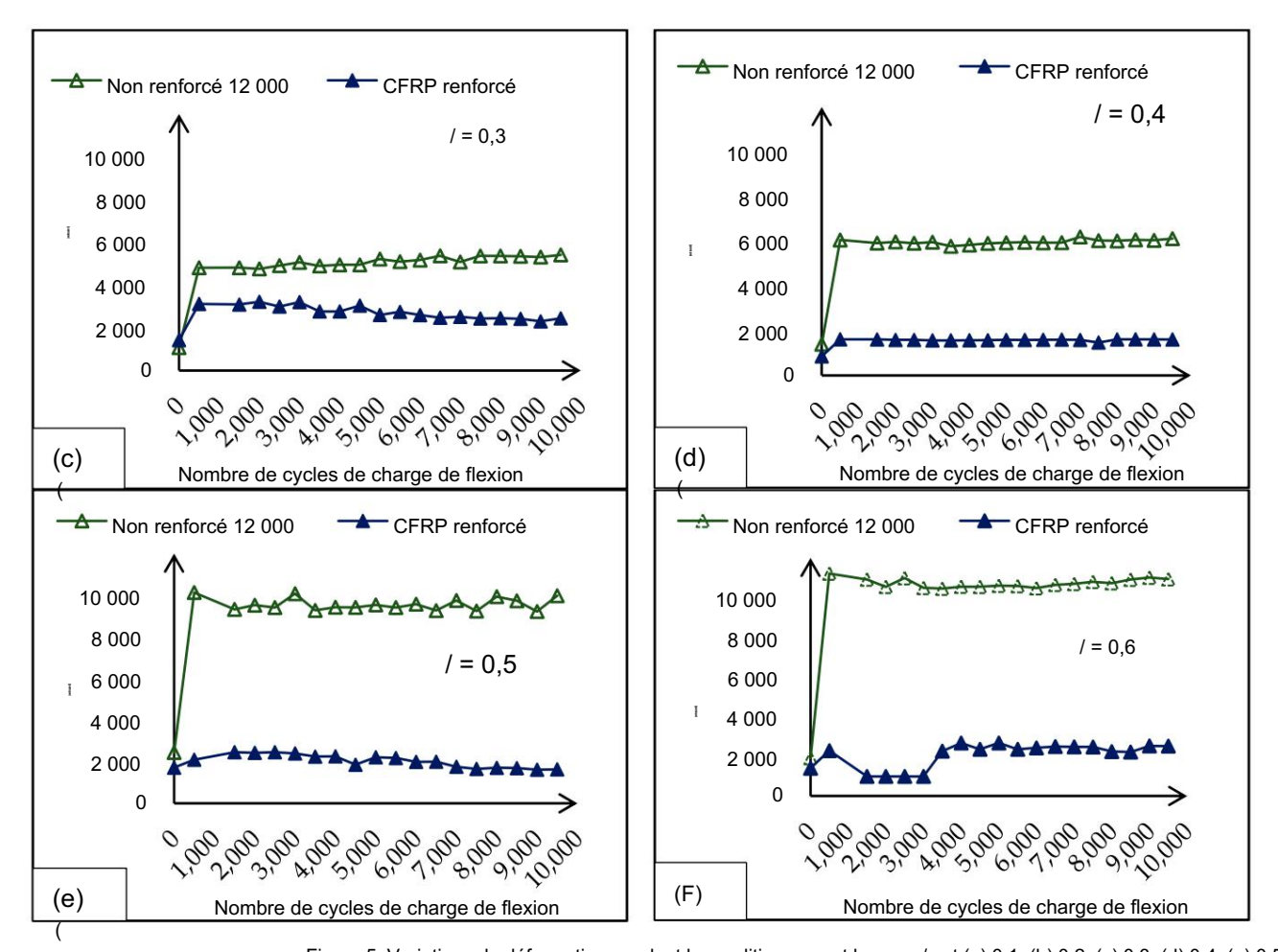


Figure 5. Variations de déformation pendant le conditionnement lorsque / est (a) 0.1 (b) 0.2 (c) 0.3 (d) 0.4 (e) 0.5 et et f) 0.6.

Pigorès La, Figure habanus un mécatt hignite atin la été constaté en renforcé et D'après la ficharithores la ficharithores la ficharithores la ficharithores la ficharithores la figure de la figure de

4.2. Effets de la distance de décalage du CSH

Aproduce takes de charge avec une amplifiede de 2 kN et une fréquence de 5 faz. Pix hit il defre eux étaient dan ente quantitation de control de charge avec une amplifiede de 2 kN et une fréquence de 5 faz. Pix hit il defre eux étaient dan et entre par une control de control

L'objectif principal de cette série de tests était de comparer la résistance à la traction conservée après exposition à la charge de fatigue pour quantifier l'efficacité du CFRP sur la distance jusqu'au CSH à partir de la mi-portée. Une tendance de l'écart de variation de la résistance à la traction moyenne retenue avec

Bâtiments 2023, 13, x POUR EXAMEN PAR LES PAIRS 7 sur 16

Bâtiments 2023. 13. 2958 7 sur 16

450

en ce qui concerne le rapport entre le diamètre et la distance de décalage du CSH a été noté à la fois échantillons renforcés et non renforcés. Lorsque la distance de décalage augmente la contrainte les concentrations proches du CSH sont réduites. Les graphiques fournissent également des preuves convaincantes de un tel comportement. La couche CFRP aide à réduire la concentration de stress tout en améliorant la résistance à la traction de l'éprouvette. En conséquence, le système hybride CSH/CFRP a montré un gain de résistance significatif par rapport à des spécimens similaires non renforcés, qui ont restauré la perte de résistance due à l'ouverture du CSH. La zone sensible à la fatigue se situe à proximité du point de chargement, et cette région peut être considérée comme une zone de forte contrainte de l'éprouvette car la chalge cyclique de flexion contribue à augmenter l'intensité de la contrainte près du point médian. Ceci clairement indique de la performance en fatigue des éléments en acier lors de l'application du Technique de

Bâtiments 2023, 13, x POUR EXAMEN PAR LES PAIRS PAR LES PAR LES PAIRS PAR LES PAR

Figure 6. Comparaison de la variation de résistance moyenne avec la position CSH.

L'objectif principal de cette série de tests était de comparer la résistance à la traction conservée après exposition à une charge de fatigue afin de quantifier l'efficacité du CFRP sur la distance jusqu'au CSH 350 . à partig de la mi-portée. Une tendance de l'écart de variation de la résistance à la traction moyenne retenue par rapport du rapport entre le diamètre et la distance de décalage du CSH a été notée à partir des échantillons renforcés et non renforcés. Lor que la distance de décalage augmente, les concentrations de contra de l'espouves à proximité du CSH sont réduites. Les graphiques fournissent également des preuves convairgantes d'un tel comportement. La couche CFRP contribue à réduire la concentration des contraintes tout en améliorant la résistance à la traction de l'éprouvette. En conséquence, le système hybride CSH/CFRP a montré un gain de résistance significatif par rapport à des échantillons similaires non renforcés, ce qui a restaure parte de vérigie de la l'ouverture de le fier es sensible à la fatigue est proche du CFRP le point de chargement, et cette région peut être considérée comme une ≥ ne de contrainte élevée de l'éprouvette gar la charge syclique de flaxign contribue à augmenter l'intensité de la contrainte près du point médian. Cela indique clairement l'exitéritation de la technique

de réparation hybride suggérée dans cette étude, quel que soit l'emplacement. Figure 6. Comparaison de la variation de l'étidité d'est de la variation de résistance moyenne avec la position CSH. du CSH, avec des performances garanties par rapport à la technique CSH conventionnelle.

Le mode de altinibere de se come anteres extra de la come de contrainte de la come de contrainte de de contra

l'éprouvette car la charge cyclique de flexion contribue à augmenter l'intensité de la contrainte près du point médian. Cela éléments en acier lors de l'application de la que soit l'emplacement du CSH, avec des onnelle uche CFRP. Le n bservé co ttes, comme le montre la figure 7. La varia la fin de chaque cycle de charge préc au CSH à partir du milieu, indiquer, rtes contraintes, qui se dissipent à

travers la feuille CFRP. En conséquence, il existe une contrainte comparativement plus faible dans le substrat acier de la configuíration hybride (b) par rapport à la configuíration CSH conventionnelle. Lorsque la position du

CSH se déplace du centre vers le support, la contrainte de fatigue diminue également. D'où la figure 7. Jauges de contrainte fixées, (a) éprouvette non renforcée et (b) éprouvette renforcée au CFRP avec des variations de déformation similaires ont été observées dans les CSH sam-offset renforcés et non renforcés. s'il vous plaît. Cela indique clairement que l'arrangement hybride CSH/CFRP proposé pourrait s'adapter avec succès à la souche proche du CSH.

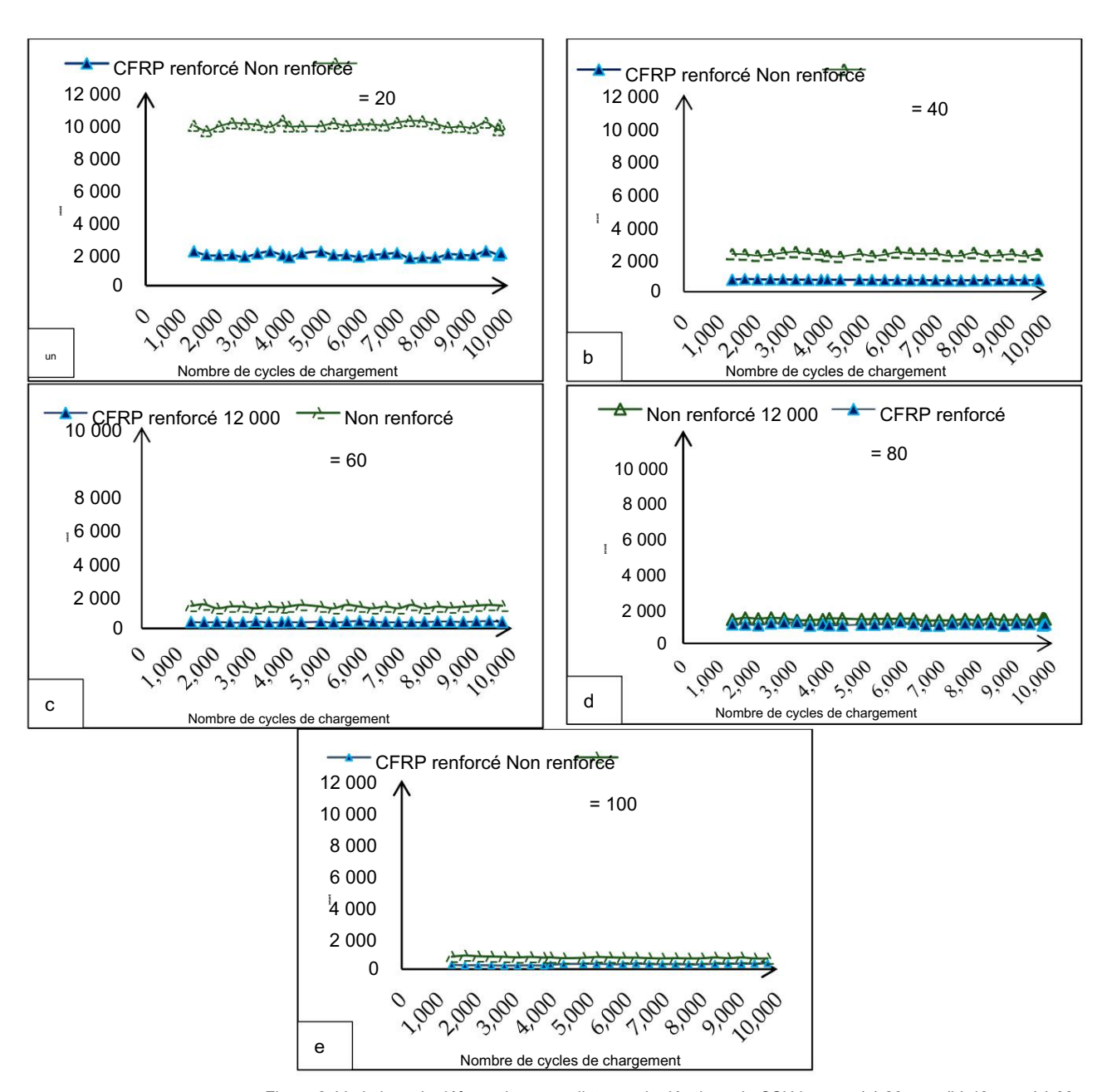


Figure 8. Variations de déformation avec distance de décalage de CSH lorsque (a) 20 mm, (b) 40 mm, (c) 60 mm, (d) 80 mm, et (e) 100 mm, (d) 80 mm, et (e) 100 mm.

5. Myddieneianoar stámentarfieint (FEM)

հաշտության և արտանար անվան արտանան արտանար անվան արտանար ար

et le nez de chargement sur le plan médian de la plaque d'acier. Chaque modèle d'échantillon a été chargé

9 sur 16

entre deux rouleaux de support et la surface inférieure de la plaque et le nez de chargement sur le plan médian de la plaque d'acier. Chaque modèle d'échantillon a été chargé avec le mode LCF utilisant une option cyclique directe et une entrée de 10 000 avec le mode LCF utilisant une option cyclique directe et une entrée de 10 000 cycles. Quand le

cycles. Lorsque la laitelledernatillage est très patite; មាខក្ខាច់នៅមេដងថ្នាន់ដែលប្រជាធិប្រជាធិប្រជាធិប្រជាធិប្បារិក្សា មេដា ប្រជាធិប្បារិក្សា មេដា ប្រជាធិប្រារិក្សា មេដា ប្រជាធិប្បារិក្សា មេដា ប្រជាធិប្បារិក្សា មេដា ប្រជាធិប្រារិក្សា មេដា ប្រជាធិប្រារិក្សា មេដា ប្រជាធិប្រារិក្សា មេដា ប្រជាធិប្រារិក្សា មេដា ប្រជាធិប្រារិក្សា មេដា ប្រារិក្សា ប្រារិក្សា មេដា ប្រារិក្សា ប្រិក្សា ប្រារិក្សា ប្រារិក្សា ប្រារិក្សា ប្រារិក្សា ប្រារិក្សា ប្រិ

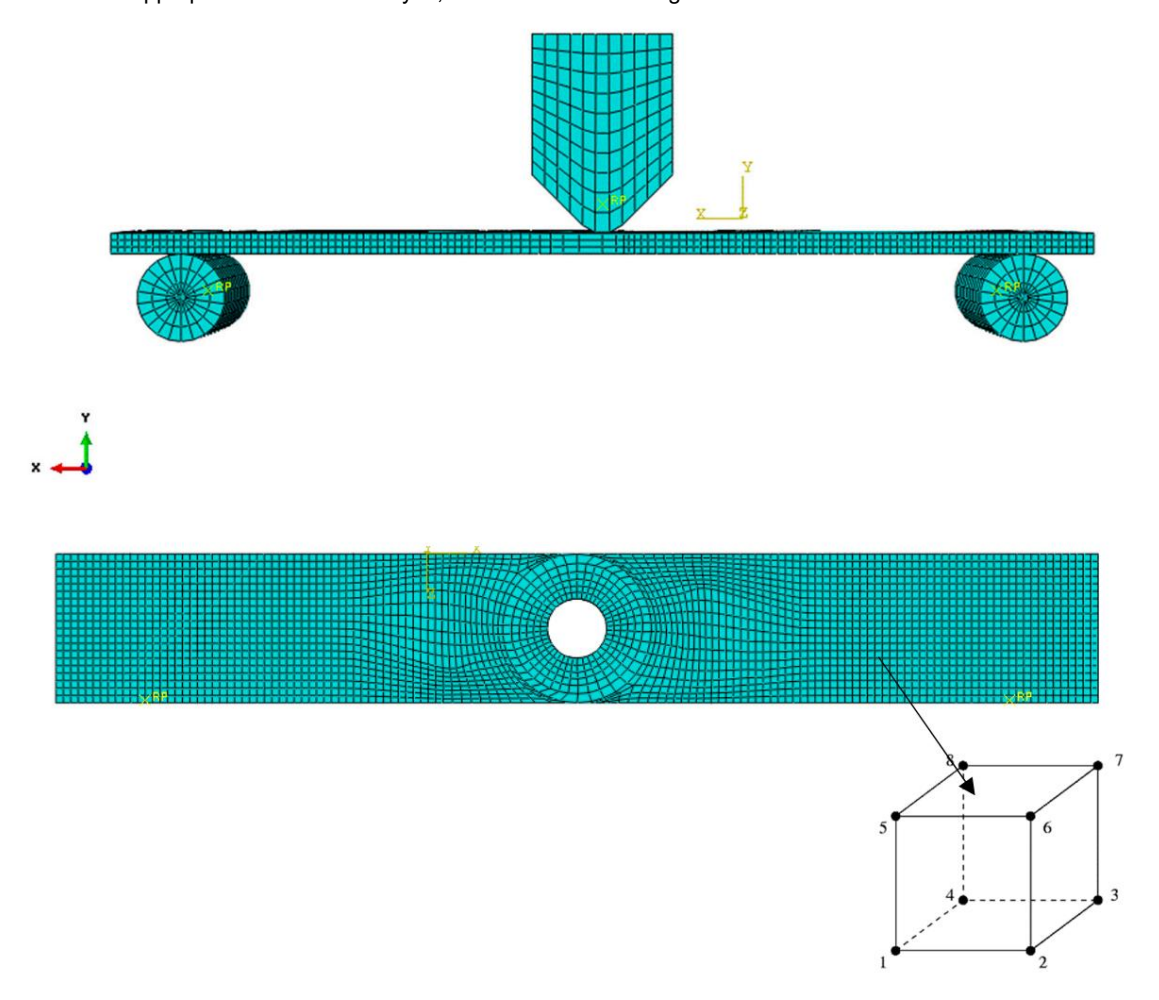


Figure 9. Le modèffegdines stellnebritagnebitation de la spécimen.

L'ampleur de la prés'ation appliqué es ai so Annier de nez de control de la fré d'inche de s'har pla d'été es d'annier de nez d'annier de la prés'ation de s'har pla d'été es d'annier de la fré d'inche de s'har pla d'été d'annier de la fre d'inche de s'har pla d'été d'annier de la fre d'inche de s'har port et été s'hés pour éviter la s'har plaint et la translation. Le taux de l'inches de support out été s'été pour éviter la s'har plaint et la translation. Le taux de chargement a été mainteur constant à un taux fixe de 0,2 mm/min tout au long de l'analyse. L'option de de l'analyse. L'option de dommages Hastin a été utilisée pour modéliser le tissu CFRP. Le dommages Hastin a été utilisée pour modéliser le tissu CFRP. Le dommages Hastin a été utilisée pour modéliser le tissu CFRP. Le coefficient de friction a été plus comme de commages Hastin a été utilisée pour modéliser le tissu CFRP. Le coefficient de friction a été plus comme été plus comme de comme de la commages Hastin a été utilisée pour modéliser le tissu CFRP. Le coefficient de friction a été plus comme été de 1,5 entre chaque surface. Options spéciales étant de 0,15 entre chaque surface. De sour modéliser le tissu CFRP. Le coefficient de friction a été plus sécules étant de 0,15 entre chaque surface. De sour modéliser le pris comme été utilisées pour modéliser de l'analyse. L'es pour chaque d'acier chaque surface de l'es sélection de s'été utilisées pour créer la lissurée de l'es sélection de s'été de l'analyse. L'es prés de l'es prés de l'es prés de l'es selection de s'été de l'es sélection de l'es s'été de 1,5 élection de 1,5 èlection de

méthode la plus vitale pour juger de la taille du maillage, et elle peut être classée comme maillage grossier, me sur 16 maille moyenne ou maille fine. La réduction de la taille des éléments est la stratégie de raffinement du maillage la plus simple, avec des tailles d'éléments réduites dans tous les domaines de modélisation. Cette approche

est intéressante en raison de sa simplicité, mais l'inconvénient est qu'il n'y a pas de raffinement préférentiel du maillage dans les régions maillage dans les régions où un maillage localement plus fin peut être nécessaire. Par conséquent, la nécessite où un maillage localement plus fin peut être nécessaire. Par conséquent, la nécessite ou un maillage localement plus fin peut être nécessaire. Par conséquent, la nécessite ou un maillage localement plus fin peut être nécessaire. Par conséquent, la nécessite ou un maillage localement plus fin peut être nécessaire. Par conséquent, la nécessite ou un maillage localement plus fin peut être nécessaire. Par conséquent, la nécessite ou un maillage localement put et et le nécessaire par consequent, la nécessite ou un extendit de la latilla du maillage de la sailla du maillage pour le FEM propose avec le niveau de précision requis devient importante. Dans la pratique industrielle, un maillage fin est introduit uniquement autour des régions devent importante. Dans la pratique industrielle, un maillage fin est introduit uniquement autour des régions pratique industrielle, un maillage fin est introduit uniquement autour des régions devient importante. Dans la pratique industrielle, un maillage fin est introduit uniquement autour des régions pratique industrielle, un maillage in est introduit uniquement autour des régions en concentrations, et la zone restante, que moindre importance, est introduite dans un un maillage plus grossier. Le test de convergence est une autre façon de vérifier si la taille du maillage en vaut un maillage plus grossier. Le test de convergence est une autre façon de vérifier si la taille du maillage en vaut la coup ou pas pour le FEM. Dans cette méthode, la moitié de la taille du maillage est sélectionnée et comparée à l'analyse précédente, et le programme est réexécute avec la nouvelle analyse. Est résident onnée et comparée à l'analyse précédente, et programme est réexécute avec la nouvelle analyse. Est résidente maillage est sélectionnée et compa

les résultats de l'analyse de sensibilité du maillage. L'option de superposition composite du matériau

L'option de europosition composite de consolité de propriété de président de présid

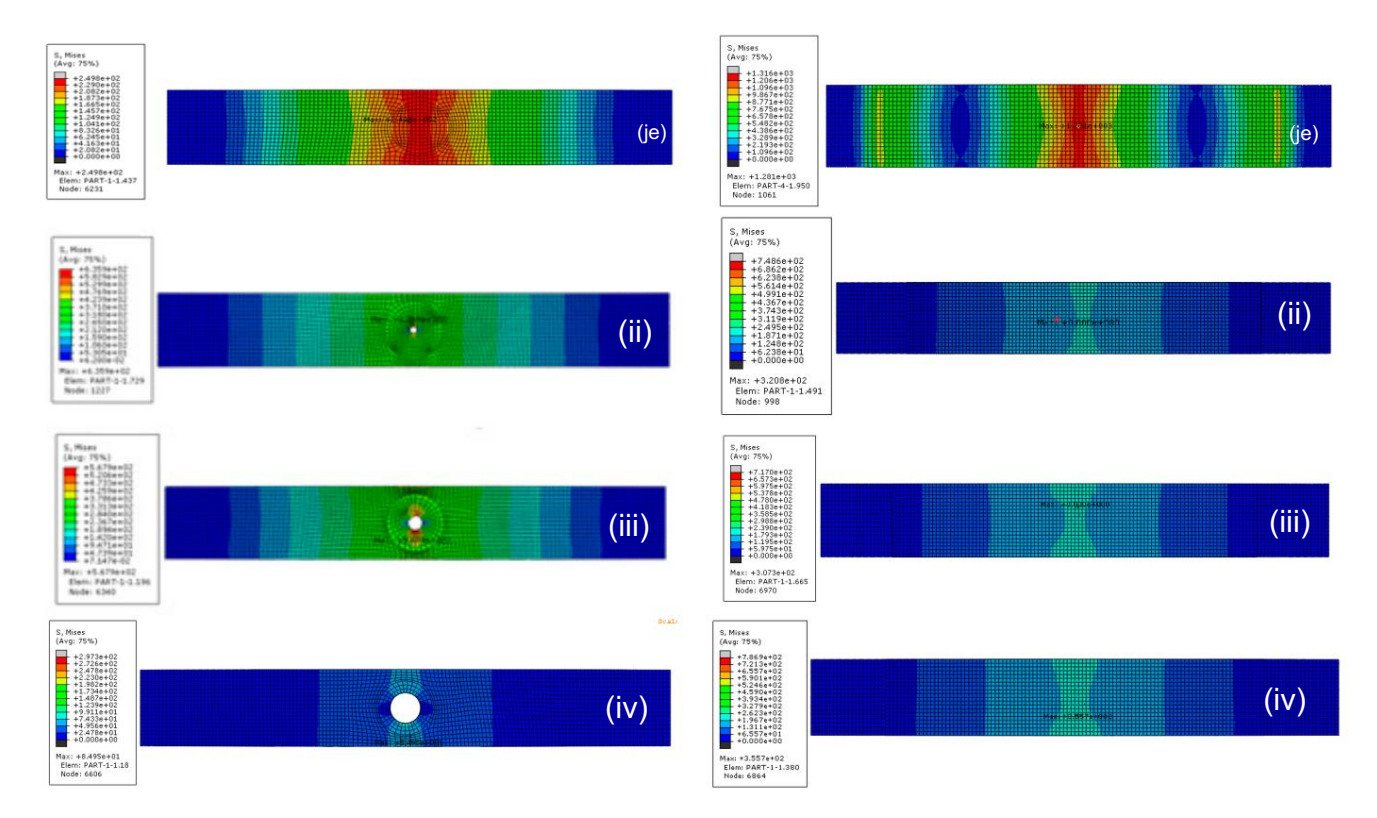


Figure 10. Suite.

Bâtiments 2023, 13, x POUR EXAMEN PAR LES PAIRS
Bâtiments Bâtiments 2023202ES BANGROURZENMEN PAR

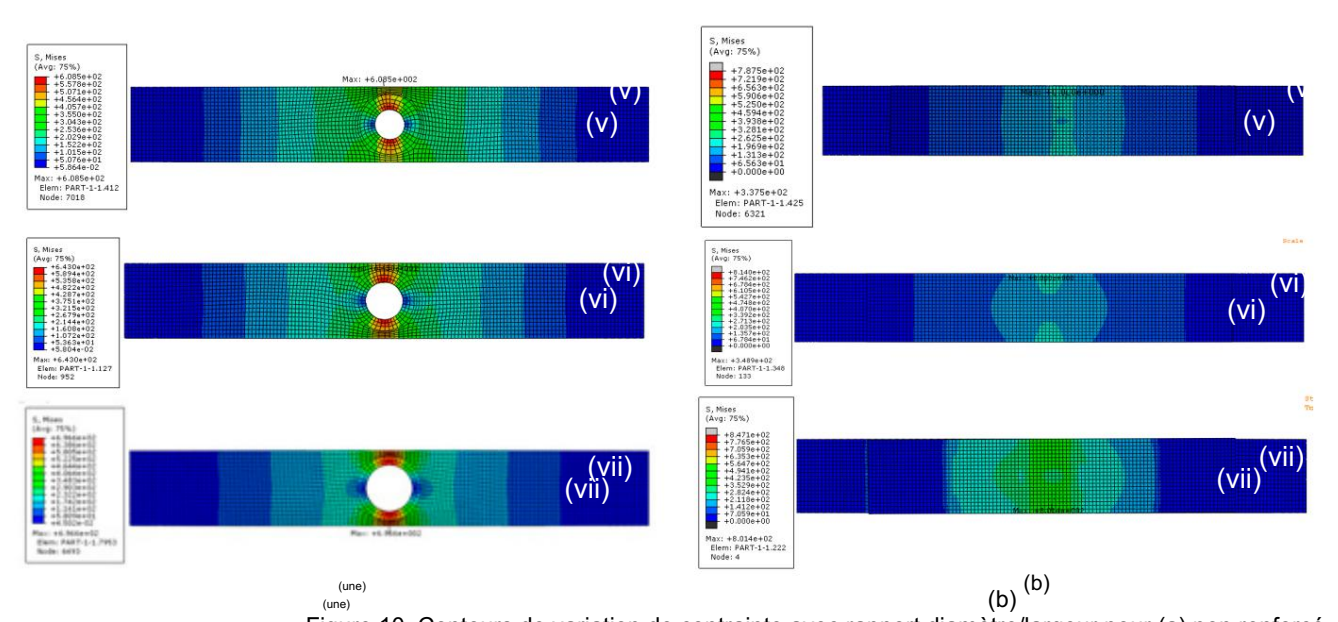


Figure 10. Contours de variation de contrainte avec rapport diamètre/largeur pour (a) non renforcé, (b) Figure 10. Contours de variation de contrainte avec rapport diamètre/largeur pour (a) non renforcé, (b) Figure 10. Contours de variation de contrainte avec rapport diamètre/largeur pour (a) non renforcé, (b) Hybride CSH/CFRP: (i) (ii) 0, (iii) 0

L'effet du rapport diamètre/largeur du CSH a été pris en considération comme L'effet du rapport diamètre/largeur du CSH a été pris en considération comme L'effet du rapport diamètre/largeur du CSH a été pris une variable primordiale dans cette analyse. Les résultats prédits pour les éléments non renforcés et une variable primordiale dans cette analyse. Les résultats prédits pour les éléments non renforcés et une variable primordiale de la primordiale de la primordiale de la position à la fatique en cette de la position de la position à la fatique en cette de la position de la position à la fatique en cette de la position de la p

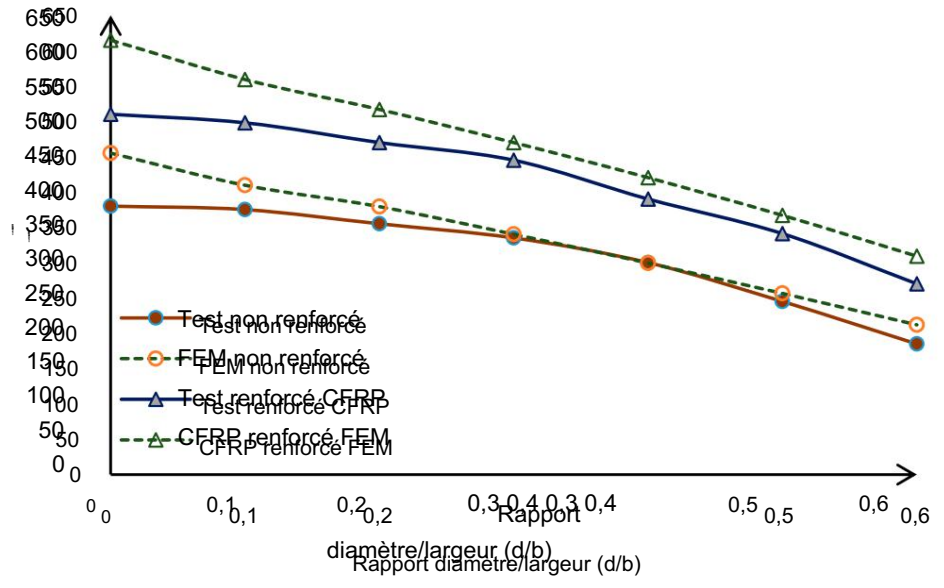
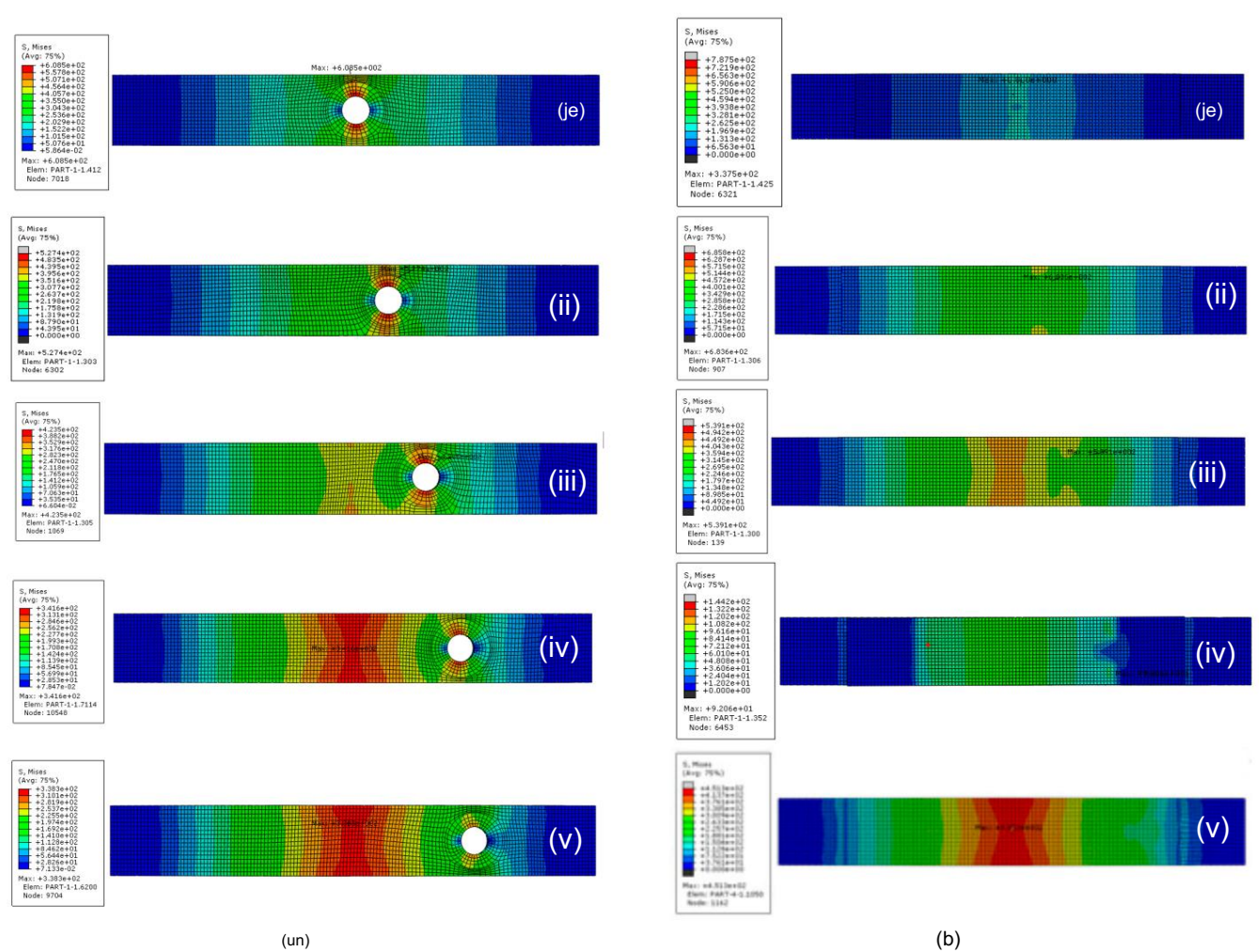


Figure 11. Comparaison entre les résultats expérimentaux et FEM. Pigure 1.1 Comparaison entre les résultats expérimentaux et FEM.

L'effet de la distance de décalage du CSH a été pris en compte comme facteur principal. variable, et elle variait de 0 à 80 par pas de 20 mm. Les résultats prédits appartenant à les groupes non renforcés et renforcés par CFRP (après exposition à la fatigue) ont été comparés avec des résultats expérimentaux pertinents, comme le montre la figure 13.



Bâtiments 2023, 13, x POUR EXAMEN PAR LES PAIRS 13 sur 16 Figure 12. Contours de variation de contrainte avec distance de décalage pour (a) non renforcé, (b) CSH/CFRP Figure 12. Contours de variation de contrainte avec distance de décalage pour (a) non renforcé, (b) cystème hybride : (i) zéro, (ii) 20 mm, (iii) 40 mm, (iv) 60 mm et (v) 80 mm. système hybride : (i) zéro, (ii) 20 mm, (iii) 40 mm, (iv) 60 mm et (v) 80 mm.

450 effet de la distance de décalage du CSH a été pris en compte comme variable principale et variait de 0 à 80 par 🏚 de 20 mm. Les résultats prédits appartenant aux groupes non renforcés et renforcés par CFRP (ap#69 exposition à la fatigue) ont été comparés aux résultats expérimentaux pertinents, comme le montre la figure 13. 350 Les résultats prévus par le modèle pour les échantillons CSH conditionnés indiquent, en moyenne, une difference de 5 % et 7 % par rapport aux résultats testés pour tes échantillons non renforcés et renforcés au ples, respectivement, dans la figure 13: Lorsque la distance jusqu'au CSH à partir du point médian varie, les écarts moyens entre les résultats prédits et testés des échantillons non renforcés et renforcés par CFRP sont respectivement de 7 % et 8 %. Cela indique clairement la précision des modèles développés qui pourraient être utilisés pour simuler davantage le comportement du FEM non renforcé. système hybride CSH/CFRP suggéré. Test non renforcé 100 CFRP renforcé FEM 50 Test renforcé CFRP 0 0 70 dix 20 30 40 50 60 80

Figure 113. Companies sore entre delse sésédatat a texpériérient autoux FEETMEM.

5.1. Validation

Les propriétés mécaniques du matériau jouent un rôle essentiel dans la prise en compte de la fatigue.

La limite d'élasticité et la résistance à la traction sont les deux principales propriétés des matériaux prises en compte dans l'analyse de fatigue des matériaux ductiles. Ces propriétés du matériau représentent la résistivité à la rupture due à la déformation et à la fracture respectivement. Résistance à l'élasticité et résistance à la traction

Distance jusqu'au CSH à partir du point médian (mm)

Les résultats prévus par le modèle pour les échantillons CSH conditionnés indiquent, en moyenne, une différence de 5 % et 7 % par rapport aux résultats testés pour les échantillons non renforcés et renforcés au CFRP, respectivement, dans la figure 13. Lorsque la distance au CSH à partir du milieu -point varie, les écarts moyens entre les résultats prédits et testés des échantillons non renforcés et renforcés au CFRP sont respectivement de 7 % et 8 %. Cela indique clairement la précision des modèles développés qui pourraient être utilisés pour simuler davantage le comportement du système hybride CSH/CFRP suggéré.

13 sur 16

5.1. Validation

Les propriétés mécaniques du matériau jouent un rôle essentiel dans la prise en compte de la fatigue. La limite d'élasticité et la résistance à la traction sont les deux principales propriétés des matériaux prises en compte dans l'analyse de fatigue des matériaux ductiles. Ces propriétés du matériau représentent respectivement la résistivité à la rupture due à la déformation et à la fracture. La limite d'élasticité et la résistance à la traction représentent différentes significations liées à la fatigue. La limite d'élasticité représente la contrainte maximale juste avant la déformation permanente, et les données de traction représentent la contrainte maximale avant la rupture du matériau. Lorsque l'on considère la valeur d'élasticité du matériau ductile, elle est importante et le matériau fragile concerne la résistance à la traction. Comme le matériau fragile n'atteint pas la charge d'élasticité, lors de l'exécution de charges de traction, il se transforme soudainement en fractures. Par conséquent, cette étude a utilisé un essai de traction pour déterminer la limite d'élasticité (contrainte de fatigue) du CSH à la fin de l'état afin de mesurer toute limite d'élasticité retenue.

Cette étude a retenu une limite d'élasticité moyenne du matériau (rapport entre la charge d'élasticité et la surface de la section transversale), qui a été estimée à la fin des charges de fatigue comme limite d'élasticité retenue, ce qui indique les effets de la fatigue sur l'éprouvette CSH. Le FEM développé a également estimé la limite d'élasticité à la fin de la fatigue, et elle a été mesurée en utilisant la contrainte au bord du CSH. Cette valeur représente près de trois fois la charge appliquée sur l'éprouvette. Cette approximation est une extension de la théorie développée par Inglish en 1913. L'auteur a introduit une technique de calcul des contraintes au plus près du trou. De plus, la courbe contrainte-déformation sous le modèle de visualisation dans les données de sortie sur le terrain pourrait également être utilisée pour estimer la limite d'élasticité. La distribution des déformations à proximité du CSH a été mesurée et comparée aux résultats FEM, comme le montrent les figures 11 et 13. D'après les graphiques, les résultats du modèle et les résultats expérimentaux étaient raisonnables pour la plage sélectionnée du CSH. La variation de déformation dans les résultats des tests CSH renforcés par CFRP concordait bien avec les résultats FEM.

5.2. Étude paramétrique

Un modèle numérique a été utilisé pour étudier les influences paramétriques sur le CSH.

Dans cette étude, l'épaisseur des éléments, la longueur des fissures et la distance de décalage ont été sélectionnées comme ayant une influence critique sur les paramètres géométriques dans la plage considérée. Selon le programme expérimental, le diamètre du CSH et la position des effets du CSH ont été étudiés expérimentalement, et les résultats des tests ont confirmé des effets significatifs pour ces paramètres. Les résultats de cette étude pourraient être résumés comme suit : • Cette enquête a rapporté

- des pertes de résistance qui étaient de l'ordre de 13 % à 25 % par rapport au CSH non conditionné avec un diamètre allant de 4 mm à 25 mm.
- Cette enquête a révélé une amélioration de la résistance à la traction avec le CFRP qui est de l'ordre de 32 % à 45 % par rapport au CSH non renforcé avec un changement de plage de diamètre de 4 mm à 25 mm.
 Cette étude a
- enregistré une augmentation de la force en ce qui concerne la distance de décalage, qui était de l'ordre de 36 % à 131 % par rapport au CSH au point médian. Les CSH
- renforcés en CFRP ont rapporté un gain de résistance significatif et leur variation a été enregistrée entre 19 % et 42 % en ce qui concerne la distance de
- décalage. Le mode de défaillance a été observé comme un délaminage de la couche de CFRP avec la charge ainsi que la charge de traction.

• Un modèle numérique solide a été développé, basé sur les propriétés des matériaux, capable de simuler le comportement en fatigue du CSH soumis à un chargement de flexion cyclique.

14 sur 16

• Lignes directrices de conception pour la technique CSH résumées dans le tableau 3.

Tableau 3. Lignes directrices de conception liées à la fatigue pour le CSH.

Catégorie	Paramètre	Plage de fonctionnement
	Rapport diamètre/largeur (d/b)	d ≤ 0,2 b
Géométrie	Rapport épaisseur/diamètre (t/b)	td ≤ 0,5
	Rapport diamètre/longueur de fissure (d/L)	d □ ≥ 0,4
	Rapport diamètre/distance de décalage (d/x)	$\frac{d}{x} \le 0.2$

6. Implications techniques

Selon les résultats des tests en laboratoire, les résultats FEM ont été utilisés pour mettre en œuvre les directives de conception de la technique CSH. Cette méthode pourrait remplacer les techniques conventionnelles de réparation par fatigue et réinstaller les pertes de résistance des structures vieillissantes. En fin de compte, cela peut contribuer à des retards dans les réparations ou les remplacements ainsi que dans les intervalles d'inspection. De plus, cela pourrait permettre de surmonter les inconvénients liés aux méthodes de réparation conventionnelles. En conséquence, cela contribue à économiser de l'argent avec des demandes de service continues en fonction de la demande actuelle.

7. Conclusions et recommandations

Les simulations expérimentales et numériques détaillées menées sur la nouvelle technique hybride développée pour contrôler les fissures dans les éléments en acier dans les infrastructures de génie civil ont donné les conclusions suivantes : • Introduction

de lignes directrices de conception pour décider de la taille appropriée du CSH pour le contrôle des fissures sur les structures en acier dues à la fatigue. • Le CSH

récupère efficacement les pertes de résistance de l'ordre de 32 % à 45 % avec par rapport à la condition non renforcée.

- La méthode proposée présente une amélioration significative de la capacité de contrôle des fissures, et elle est fortement recommandée pour améliorer la durée de vie des infrastructures en acier sous charge
- de fatigue. Ce modèle numérique développé peut être utilisé efficacement pour estimer les effets de paramètres inconnus du CSH sous une réponse en fatigue.

8. Travaux futurs

La fatigue est régie par la microstructure d'un matériau due à des contraintes externes ou internes. Par conséquent, il devrait y avoir une analyse microscopique concernant la disposition des grains, la dislocation et les informations concernant les atomes manquants du matériau avec des paramètres critiques. Le modèle par éléments finis ne permet pas de modéliser les effets des facteurs environnementaux sur la performance des obligations. Cela pourrait être considéré comme une lacune importante dans les techniques FEM. En outre, l'évaluation des études liées à la performance des liaisons à long terme du système hybride CSH/CFRP afin de confirmer la durabilité de cette technique pourrait également être réalisée à l'avenir.

Contributions des auteurs : Conceptualisation, SA et JCPG ; méthodologie, SA; logiciels, SA; validation, SA, JCPG et SF ; analyse formelle, SA ; enquête, SA; ressources, JCPG ; conservation de données , SA ; rédaction – préparation du projet original, SA ; rédaction – révision et édition, JCPG ; visualisation, SF; supervision, JCPG; administration du projet, JCPG Tous les auteurs ont lu et accepté la version publiée du manuscrit.

Financement : Cette recherche n'a reçu aucun financement externe.

Déclaration de disponibilité des données : les données sont contenues dans l'article.

Bâtiments 2023, 13, 2958 15 sur 16

Remerciements: Nous souhaitons également exprimer ma gratitude à tous les membres du personnel académique du Département de génie civil de l'Université de Moratuwa, Sri Lanka, pour leur précieux soutien. DMNL Dissanayaka, responsable technique au Laboratoire d'essais de structures, Yohan responsable technique au Laboratoire de mécanique computationnelle, Charaka Satharasinghe, responsable technique au Laboratoire informatique pour leur précieux soutien apporté tout au long de la période de recherche. De plus, nous tenons à remercier Airow Solution (PVT) Ltd. pour la fourniture de matériel et Randana de Silva, Pramod Karunarathna et Varakini pour leur aimable soutien tout au long de cette période. Enfin, nous souhaitons remercier Thanuja et Sanjalee Abeygunasekara, pour leur amour, leur soutien émotionnel et leurs encouragements. Les auteurs remercient chaleureusement le soutien du personnel du laboratoire d'essais de structures, ainsi que du personnel du laboratoire informatique du Département de génie civil de l'Université de Moratuwa, Sri Lanka, pour leur précieux soutien.

Conflits d'intérêts : Les auteurs ne déclarent aucun conflit d'intérêts.

Les références

- Wijesuriya, HS Prédiction de la propagation des fissures de fatigue de fretting à l'aide de l'analyse par éléments finis. Dans Actes de la Moratuwa Engineering Research Conference 2018 (MERCon), Moratuwa, Sri Lanka, 30 mai-1er juin 2018.
- Comité sur la fiabilité en matière de fatigue et de rupture du Comité sur la sécurité et la fiabilité des structures de la Division des structures, American Society of Civil Engineers. Fiabilité
 à la fatigue: Développement de critères de conception. J. Structure. Div. 1982, 108, 71-88.
- 3. Fisher, JW; Barthélemy, BM; Mertz, DR; Edinger, JA Comportement en fatigue des attaches de pont soudées à grande échelle; Rapport NCHRP 227; Conseil de recherche sur les transports, Conseil national de recherches: Washington, DC, États-Unis, 1980.
- Sveinsdottir, SL Recherche expérimentale sur le renforcement des poutres en béton par l'utilisation d'un adhésif époxy et d' un matériau de liaison à base de ciment. Mémoire de maîtrise, Haskolinn, Reykjavik Univercity Islande, Reykjavík, Islande, 2012.
- 5. Poisson, P.; Schröder, C.; Connor, RJ; Sauser, P. Bibliothèque de fatigue et de fracture pour l'inspection, l'évaluation et la réparation des ponts en acier pour véhicules; Université Purdue: West Lafavette. Indiana. États-Unis. 2015.
- 6. Ishikawa, T.; Matsumoto, R.; Hattori, A.; Kawano, H.; Yamada, K. Réduction de la concentration des contraintes au bord du trou d'arrêt par surface de fissure de fermeture. J. Soc. Maître. Sci. 2013, 62, 33-38. [Référence croisée]
- Dexter, RJ; Ocel, Manuel JM pour la réparation et la modernisation des fissures de fatigue dans les ponts en acier (n° FHWA-IF-13-020); Autoroute fédérale
 Administration: Washington, DC, États-Unis, 2013.
- 8. Rolfe, ST; Barsom, JM Contrôle des fractures et de la fatigue dans les structures : applications de la mécanique des fractures ; ASTM International : West Conshohocken, PA, États-Unis. 1977.
- 9. Brown, JD; Lubitz, DJ; Cekov, YC; Frank, KH; Keating, PB Évaluation de l'influence de la réalisation de trous sur les performances des plaques d'acier structurelles et des connexions (n° FHWA/TX-07/0-4624-1). 2007. Disponible en ligne: https://trid.trb.org/view/849447 (consulté le 12 août 2022).
- Bocciarelli, M.; Colombie, P.; Fava, G.; Poggi, C. Performances en fatigue des éléments en acier de traction renforcés avec des plaques CFRP.
 Composer. Structure. 2009, 87, 334-343. [Référence croisée]
- 11. Chandrathilaka, ERK; Gamage, JCPH; Fawzia, S. Caractérisation mécanique de la liaison CFRP/acier durcie et testée à des températures élevées température. Composer. Structure. 2019. 207. 471-477. [Référence croisée]
- 12. Yuan, H.; Teng, JG; Seracino, R.; Wu, ZS; Yao, J. Comportement complet des joints collés FRP-béton. Ing. Structure. 2004, 26, 553-565. [Référence croisée]
- 13. Liu, HB; Zhao, XL; Al-Mahaidi, R. L'effet de la charge de fatigue sur la force d'adhérence des joints de plaques d'acier liées au CFRP. Dans Actes du Symposium international sur le comportement des obligations des FRP dans les structures, Hong Kong, Chine, 7-9 décembre 2005; pp. 459-464.
- 14. Tang, JH; Sridhar, moi.; Srikanth, N. Analyse de rupture statique et par fatigue de joints composites épais à recouvrement unique collés de manière adhésive.

 Composer. Sci. Technologie. 2013, 86, 18-25. [Référence croisée]
- 15. Kalavagunta, S.; Naganathan, S.; Mustapha, KNB Colonnes en acier chargées axialement renforcées avec du CFRP. Jordan J.Civ. Ing. 2014,
- Cadei, JC; Stratford, Tennessee; Duckett, GT; Hollaway, LC Renforcement des structures métalliques à l'aide de fibres renforcées à liaison externe Polymères; Ciria: Londres, Royaume-Uni, 2004.
- 17. Gîte, BE; Margaj, MSR; La fibre de carbone comme matériau récent utilisé dans la construction. Portail du génie civil. 2013. Disponible en ligne : https://www.engineeringcivil.com/carbon-fibre-as-a-recent-material-use-in-construction.html (consulté le 14 juillet 2022).
- 18.ASTM D790-17; Méthodes d'essai standard pour les propriétés de flexion des plastiques non renforcés et renforcés et des isolants électriques matériaux. Normes ASTM: West Conshohocken. PA. États-Unis. 1997.
- 19.ASTM D3039/D3039M-08; Méthode d'essai standard pour les propriétés de traction des matériaux composites à matrice polymère. Normes ASTM: West Conshohocken, PA, États-Unis. 2014.

20. Silva, MAL; Dedigamuwa, KV; Gamage, JCPH Performance des connexions dalles plates-colonnes en béton armé gravement endommagées, renforcées avec du polymère renforcé de fibres de carbone. Composer. Structure. 2021, 255, 112963. [Réf. croisée]

21. Coffin, LF, Jr. Une étude des effets des contraintes thermiques cycliques sur un métal ductile. Trans. Suis. Soc. Mécanique. Ing. 1954, 76, 931-949. [Référence croisée]

16 sur 16

Avis de non-responsabilité/Note de l'éditeur : Les déclarations, opinions et données contenues dans toutes les publications sont uniquement celles du ou des auteurs et contributeurs individuels et non de MDPI et/ou du ou des éditeurs. MDPI et/ou le(s) éditeur(s) déclinent toute responsabilité pour tout préjudice corporel ou matériel résultant des idées, méthodes, instructions ou produits mentionnés dans le contenu.